ОПТИКА И ЛАЗЕРНАЯ ФИЗИКА

УДК 538.958; 535.8

РЕАЛИЗАЦИЯ ЭФФЕКТА ГИГАНТСКОГО КОМБИНАЦИОННОГО РАССЕЯНИЯ СВЕТА В КРЕМНИЕВОЙ ПОЛУПРОВОДНИКОВОЙ СТРУКТУРЕ С РЕЗОНАНСОМ ФАНО

Н. Н. Мельник¹, Е. В. Переведенцева¹, В. В. Трегулов², Г. Н. Скопцова², Ю. Н. Горбунова², Д. С. Косцов¹

Представлен способ получения активных SERS подложек с коэффициентом усиления $\sim 10^4$. Показано, что подложки с более выраженным резонансом Фано в кремниевой пористой структуре, полученной путём термической диффузии бора, обладают большим коэффициентом усиления.

Ключевые слова: комбинационное рассеяние света, резонанс Фано, гигантское комбинационное рассеяние света (ГКРС), пористый кремний, металл-стимулированное травление, диффузия.

Введение. Использование физического явления гигантского комбинационного рассеяния света (ГКРС) позволяет существенно повысить чувствительность оптических методов молекулярной спектроскопии при возможности неразрушающего исследования изучаемых объектов. Это, в частности, актуально для исследования сложных органических соединений при крайне низких их концентрациях, а также для детектирования и изучения различных микробиологических объектов [1]. Основным и наиболее изученным механизмом ГКРС считают повышение напряженности электрического поля на поверхности наноразмерных частиц благородных металлов (серебро, золото) [1, 2]. Увеличение напряженности электрического поля на поверхности таких наночастиц, контактирующих с исследуемым объектом, при возбуждении оптическим излучением локализованного плазмонного резонанса способствует росту интенсивности комбинационного рассеяния света (КРС) до 10 порядков величины [2, 3].

¹ ФИАН, 119991 Россия, Москва, Ленинский пр-т, 53; e-mail: melnik@sci.lebedev.ru.

 $^{^2}$ Рязанский государственный университет им. С. А. Есенина, 390000 Россия, Рязань, ул. Свободы, 46.

В связи с актуальностью ГКРС возникает задача создания активных сред (подложек) с высоким коэффициентом усиления интенсивности сигнала КРС исследуемых химических соединений и микроорганизмов.

В работах [4, 5] показано, что резонанс Фано в материале активной подложки позволяет существенно усилить интенсивность КРС исследуемого вещества. Резонанс Фано — тип резонанса с ассиметричным профилем, возникающий при интерференции между широким континуальным состоянием и узким дискретным состоянием [4]. Получить высокое усиление КРС позволяет применение в качестве активной среды плазмонных олигомеров с резонансом Фано, представляющих собой кластеры металлических наночастиц золота или серебра с управляемой морфологией [4, 5]. Подбирая материал наночастиц, их форму, размер, расстояние между ними в составе плазмонного олигомера, можно управлять формой спектральной линии резонанса Фано, и как следствие — коэффициентом усиления КРС [4].

Согласно [4] резонанс Фано приводит к значительному усилению эффекта ближнего поля, что способствует повышению степени локализации так называемых "горячих точек", ответственных за эффект ГКРС. В результате резонанс Фано может способствовать усилению интенсивности КРС [4].

В то же время следует отметить, что для создания активной среды ГКРС в [4] использовалась электронно-лучевая литография, что является достаточно дорогой технологией. В работе [5] для получения плазмонного олигомера с резонансом Фано на основе серебряных наночастиц используется более простой химический метод, однако требуется дополнительная операция переноса олигомера на твердотельную подложку с целью создания активной среды ГКРС.

Возможность наблюдать резонанс Фано в неплазмонных, в частности, полупроводниковых структурах обсуждается теоретически [6] и продемонстрирована экспериментально для монокристаллического кремния [7] и пленок пористого кремния (por-Si), сильно легированных бором [8]. Причем в легированных бором пористых пленках резонанс Фано проявляется сильнее, чем в монокристаллическом кремнии [9, 10]. Технология формирования плёнок пористого кремния не требует применения дорогостоящих оборудования и химических реактивов. Легирование бором пористой пленки осуществляется методом термической диффузии в электрической печи с использованием в качестве диффузанта спиртового раствора борной кислоты [9, 10], что также не является дорогостоящей технологической процедурой.

По нашим сведениям, в литературе не сообщается о применении полупроводниковых структур на основе пленок рог-Si с резонансом Фано в качестве активных подложек для ГКРС. Однако по аналогии с плазмонными структурами мы предполагаем, что полупроводниковая структура, в которой реализован резонанс Фано, может быть использована для создания активных подложек для ГКРС.

Целью данной работы является исследование возможности применения полупроводниковой структуры Si с пленкой рог-Si, в которой реализован резонанс Фано, в качестве основы активной подложки для ГКРС.

Экспериментальные образцы и методика исследования. Для изготовления исследуемых образцов (активных подложек) использовались монокристаллические кремниевые пластины марки КЭФ-4.5 *n*-типа (Si-n) проводимости, с удельным сопротивлением 4.5 Ом⋅см и ориентацией поверхности (100). Были изготовлены три варианта активных подложек: Ag/Si-n (№1), Ag/por-Si/Si-n (№2), Ag/por-Si/Si-n с резонансом Фано (№3).

Структура Ag/Si-n (№1) представляет собой островковую пленку, состоящую из обособленных наночастиц Ag, на подложке Si-n. Пленка наносилась на подложку Si-n химическим способом из раствора состава: Ag_2SO_4 (0.01 M): HF (46% по массе): C_2H_5OH (92%) при соотношении компонентов 1:0.1:0.3 в течение 20 с.

При изготовлении структуры Ag/por-Si/Si-n (№2) пленка рог-Si формировалась на поверхности подложки Si-n методом двухэтапного металл-стимулированного травления. На первом этапе на подложку n-Si наносился слой наночастиц Ag способом, примененным при изготовлении Ag/Si-n. На втором этапе пластина помещалась в раствор H_2O_2 (1.24 M): HF (46%): C_2H_5OH (92%) с соотношением компонентов 1:0.5:0.25 и выдерживалась 30 мин, в результате чего формировалась пористая пленка. Здесь частицы серебра являются катализатором окисления кремния для формирования пор. Удаление серебра из пор проводилось отмывкой пластины в HNO₃ в течение 15 мин. Последующее формирование пленки наночастиц Ag на поверхности рог-Si проводилось способом, примененным при изготовлении структуры №1. Между технологическими операциями пластина отмывалась в дистиллированной воде для удаления следов химических реактивов.

При изготовлении структуры Ag/por-Si/Si-n (№3) с резонансом Фано использовался способ, описанный в [9, 10]. Сначала методом металл-стимулированного травления, описанным выше, формировалась структура por-Si/Si-n. Затем в пленку por-Si проводилась диффузия бора в электрической печи при температуре 1100 °C в течение 10 минут. В результате на поверхности пленки рог-Si формировался слой p-типа проводимости с высокой концентрацией акцепторной примеси (порядка 10^{20} см $^{-3}$). После проведения диффузии образец отмывался в HF (46%) в течение 15 минут для удаления слоя боросиликатного стекла, образовавшегося при нагреве. Далее на поверхность рог-Si осаждалась пленка наночастиц серебра способом, описанным выше.

Частицы Ag, осажденные на поверхность активных подложек (образцы №1 – №3) обеспечивают усиление интенсивности KPC изучаемых химических соединений [1–3].

Спектры КРС измерялись с помощью спектрометра inVia (Renishaw, Великобритания). Возбуждение КРС осуществлялось твердотельным лазером на длине волны 785 нм с мощностью на образце около 2.6 мВт. Возбуждение и регистрация спектров КРС осуществлялись в стандартной геометрии на отражение, использовался объектив NPlan 50/0.50 (Leica, Φ P Γ).

С целью количественной оценки характеристик резонанса Фано проводилось моделирование спектральной КРС линии первого порядка кремния способом, предложенным в [11].

Для наблюдения ГКРС как тестовый объект использовался краситель метиленовый синий (МС). На изготовленные структуры, а также на поверхность пластины Sin наносились капли водного раствора МС в концентрации 10^{-5} – 10^{-6} М и высушивались на воздухе. Мощность возбуждающего лазера на поверхности образцов составляла $6.6 \cdot 10^{-3}$ –0.44 мВт. Коэффициент усиления G при ГКРС оценивается по отношению интенсивностей выбранных пиков при ГКРС ($I_{\Gamma KPC}$) и для контрольного спектра КРС ($I_{\kappa OHTP}$):

$$G = (I_{\Gamma KPC}/N_{\Gamma KPC})/(I_{KOHTD}/N_{KOHTD}),$$

где N — количество молекул MC, вносящих свой вклад в сигнал KPC [12]. Контрольные спектры KPC измерялись для образцов, нанесенных на Si-n таким же образом, как описано выше. Но поскольку при использованных для наблюдения ГКРС мощностях лазера не удавалось измерить спектр MC на Si-n, мощность лазера в фокусе была повышена до 2.6 мВт. Соотношение мощности лазера при наблюдении ГКРС к мощности при измерении контрольных спектров составляло k; и с учетом того, что пленка MC наносилась одинаковым образом на контрольный и исследуемые образцы, фактор усиления при ГКРС оценивали как

$$G = k \times I_{\Gamma \text{KPC}} / I_{\text{контр}}. \tag{1}$$

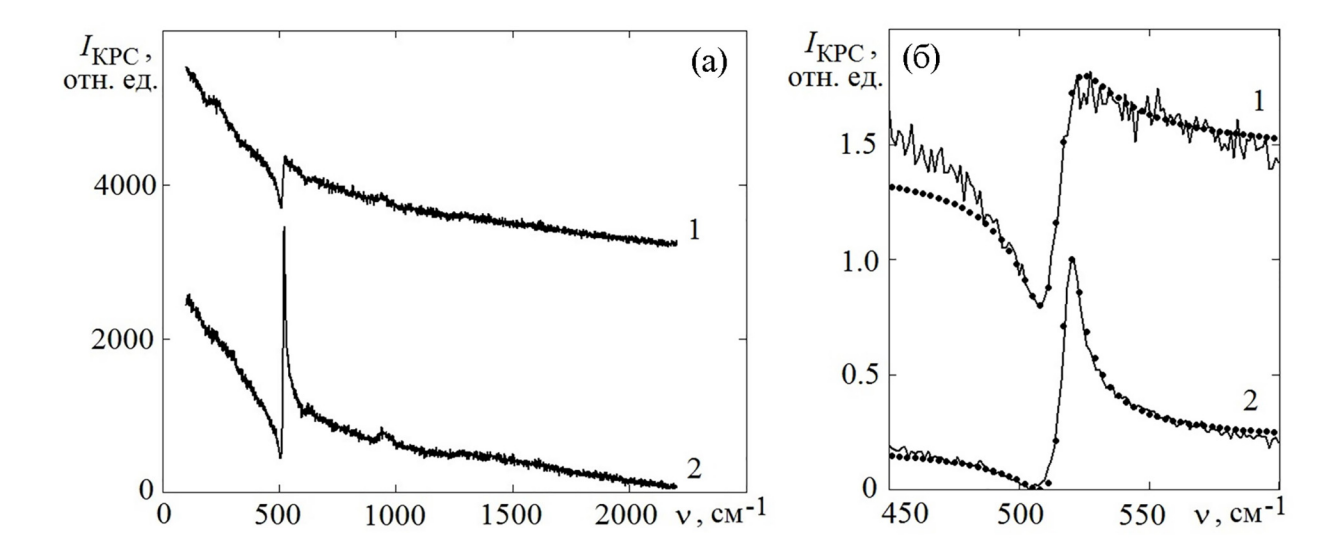


Рис. 1: Спектры КРС областей 1 и 2 структуры Ag/por-Si/Si-п с пленкой por-Si, легированной бором (№3), отличающиеся различными значениями параметра Фано: (а) в диапазоне 100-2200 см⁻¹; (б) вблизи линии первого порядка кремния. Символом (\bullet) показан результат моделирования данной спектральной линии по формулам (2) и (3).

Результаты эксперимента и их обсуждение. Спектры КРС структуры Ag/por-Si/Si-n с пленкой рог-Si, легированной бором, представлены на рис. 1(а). Спектральная линия КРС первого порядка кремния, находящаяся вблизи частоты 521 см⁻¹, заметно деформирована, что характерно для резонанса Фано [7–10]. Также важно отметить, что на фронтальной поверхности образца обнаруживаются области с разными характеристиками резонанса Фано (рис. 1(а) представляет характерные спектры областей 1 и 2). Данная ситуация может быть объяснена неравномерным распределением диффузанта по поверхности пленки рог-Si.

С целью количественной оценки характеристик резонанса Фано проводилось моделирование спектральной линии первого порядка кремния вблизи частоты 521 см⁻¹ для областей 1 и 2 структуры Ag/por-Si/Si-n с пленкой por-Si, легированной бором, по формуле:

$$I(\nu) = \frac{1}{(q^2 + 1)} \frac{(q + \Omega)^2}{(1 + \Omega^2)},\tag{2}$$

где q – параметр Фано (безразмерная величина), Ω – безразмерная частота:

$$\Omega = (\nu - \nu_0)/\Gamma,\tag{3}$$

 ν — текущее значение частоты, ν_0 , Γ — положение и ширина спектральной линии резонанса Фано, соответственно, [11]. Величины параметров резонанса Фано для областей

1 и 2 образца Ag/por-Si/Si-n с резонансом Фано представлены в табл. 1. На рис. 1(б) представлены фрагменты экспериментальных спектров KPC областей 1 и 2 вблизи линии первого порядка кремния и показан результат моделирования данной спектральной линии по формулам (2) и (3).

Резонанс Фано проявляется сильнее, если величина ν_0 более значительно смещена в низкочастотную сторону относительно положения спектральной линии КРС первого порядка Si (520.6 см⁻¹), величина Γ имеет большее значение, а величина q стремится к 0. Таким образом, для структуры Ag/por-Si/Si-n с пленкой por-Si, легированной бором, в области 1 резонанс Фано проявляется более сильно, чем в области 2.

Таблица 1 Величины параметров резонанса Фано для областей 1 и 2 структуры Ag/por-Si/Si-n с пленкой por-Si, легированной бором

| Область | Параметры резонанса Фано | | |
|---------|--------------------------|-----------------------------|-------------|
| | $\nu_0, {\rm cm}^{-1}$ | Γ , cm ⁻¹ | q, отн. ед. |
| 1 | 514 | 8.0 | 0.75 |
| 2 | 517.5 | 4.8 | 2.0 |

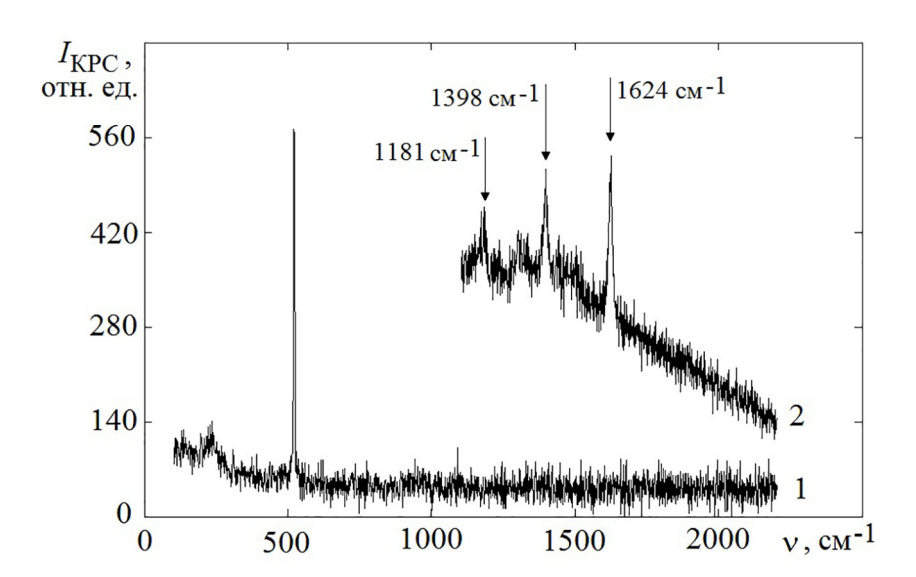


Рис. 2: Спектры КРС структуры Ag/Si-n: 1 – спектр в области без MC, 2 – спектр в области с нанесенным MC, стрелками показаны спектральные линии, характерные для MC [12]. Мощность $6.6 \cdot 10^{-3}$ мВт.

Эффективность ГКРС исследуемых активных подложек оценивалась с использованием спектра КРС красителя МС. На рис. 2 представлены спектры КРС, измеренные

в двух различных областях структуры Ag/Si-n: на поверхность области 2 был нанесен раствор MC, область 1 не содержала MC.

На спектрах КРС, измеренных в области 1, линия около $521 \,\mathrm{cm}^{-1}$ обусловлена колебанием кристаллической решетки кремния. Спектральная линия $233 \,\mathrm{cm}^{-1}$ характерна для структур, содержащих пленки Ag, и соответствует колебательной моде химической связи Ag–O [13]. При нанесении MC на поверхность Ag/Si-n наблюдаются характерные линии спектра MC при $1624 \,\mathrm{cm}^{-1}$, $1398 \,\mathrm{cm}^{-1}$ и $1181 \,\mathrm{cm}^{-1}$, принадлежащие модам $\nu(\text{C-N})$, $\nu(\text{C-C})_{\text{ring}}$ и $\alpha(\text{C-H})$, соответственно, [12]. Для оценки коэффициента усиления использовали пики при $1624 \,\mathrm{u} \,1398 \,\mathrm{cm}^{-1}$. Для разных пиков коэффициент мог различаться. При использовании для оценки коэффициента усиления в качестве контроля MC, нанесенного на Si-n, при той же мощности возбуждения спектр MC не наблюдался. Поэтому мощность повышали до $2.6 \,\mathrm{mBr}$, что позволяло получить контольный спектр MC без эффекта ГКРС, и оценивали коэффициент усиления по формуле (1). Для структуры Ag/Si-n он составил около $2 \cdot 10^3$. Использование наночастиц серебра на поверхности исходной кремниевой пластины уже способствует некоторому увеличению интенсивности КРС, тогда как оказалось, что для Ag/por-Si/Si-n без резонанса Фано заметного усиления не наблюдается (не показано).

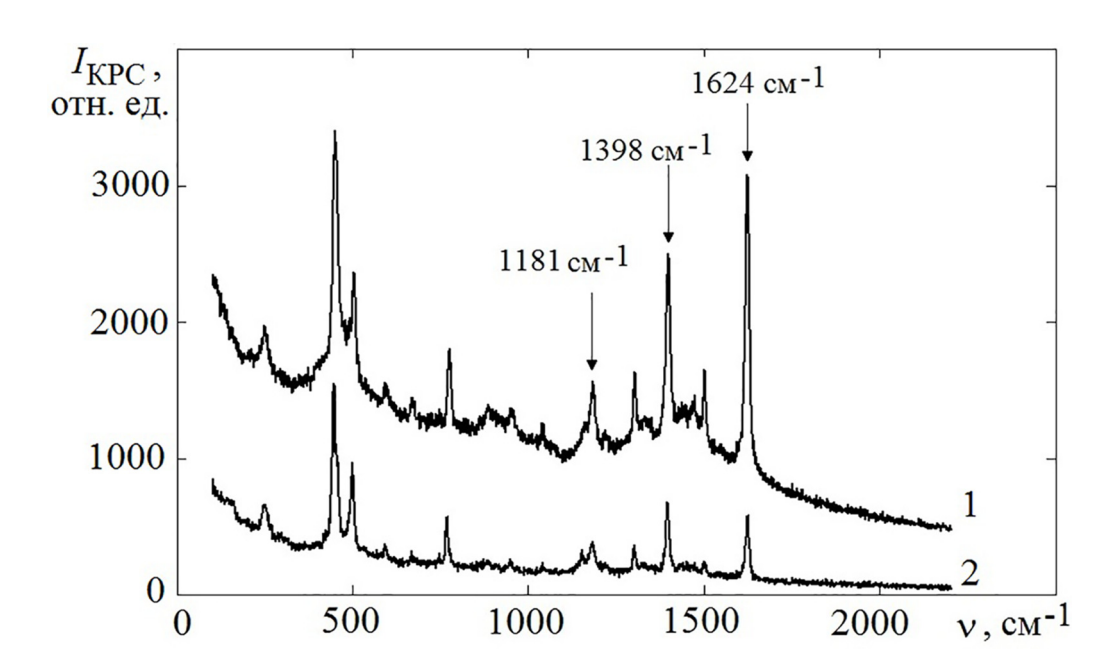


Рис. 3: Спектры KPC структуры Ag/por-Si/Si-n с пленкой por-Si, легированной бором, с нанесенным MC для областей 1 и 2 с различным характером проявления резонанса Фано (см. табл. 1), мощность $6.6 \cdot 10^{-3}$ мВт.

На рис. 3 представлены спектры MC, нанесенного в областях 1 и 2, анализируемых выше (рис. 1(6), табл. 1), и спектры структуры Ag/por-Si/Si-n с пленкой por-Si, легированной бором.

Отметим, что пленка МС наносилась одинаковым образом на Si-n и на Ag/por-Si/Si-n. С учетом того, что при ГКРС измеряется сигнал от молекул, непосредственно контактирующих с ГКРС-активной подложкой, а при спектроскопии КРС – от всей толщины пленки, количество молекул $N_{\Gamma \text{KPC}} \leq N_{\text{контр}}$, и можно говорить, что фактор усиления не меньше, чем G.

Наблюдается значительное усиление спектра МС. Для области 1 с более выраженным резонансом Фано (q=0.75) максимальный коэффициент усиления, оцененный по формуле (1), составляет более $2 \cdot 10^4$, тогда как для области с q=2 он достигает $9 \cdot 10^3$. Таким образом, снижение параметра Фано q способствует усилению эффекта ГКРС.

Следует отметить, что коэффициент усиления ГКРС не достигает экстремальных величин, демонстрируемых в современных работах [3]. В тоже время однако цель данной работы достигнута — продемонстрирована принципиальная возможность использования резонанса Фано для увеличения коэффициента усиления ГКРС по сравнению с аналогичными структурами без резонанса Фано. Показана связь коэффициента усиления с параметрами резонанса Фано. Предполагаются дальнейшие исследования по поиску оптимальных параметров таких структур, оптимизации процессов их производства, а также исследование механизмов данного явления.

Заключение. Впервые продемонстрирована возможность применения полупроводниковой структуры с пленкой рог-Si, обладающей резонансом Фано, для разработки активной подложки для наблюдения ГКРС. Показано, что полупроводниковая структура Ag/por-Si/Si-n с резонансом Фано обеспечивает большее усиление интенсивности сигнала КРС по сравнению с полупроводниковыми структурами Ag/Si-n и Ag/por-Si/Si-n без резонанса Фано. Показано также, что в структуре Ag/por-Si/Si-n с резонансом Фано усиление зависит от параметров, характеризующих резонанс Фано.

ЛИТЕРАТУРА

- [1] C. Zong, M. Xu, L.-J. Xu, et al., Chem. Rev. **118**(10), 4946 (2018). https://doi.org/10.1021/acs.chemrev.7b00668.
- B. Sharma, R. R. Frontiera, A.-I. Henry, et al., Materials Today 15(1-2), 16 (2012). https://doi.org/10.1016/S1369-7021(12)70017-2.

- [3] R. Pilot, R. Signorini, C. Durante, et al., Biosensors (Basel) **9**(2), 57 (2019). DOI: 10.3390/bios9020057.
- [4] A. Dutta, K. Alam, T. Nuutinen, et al., Optics Express 27(21), 30031 (2019). https://doi.org/10.1364/OE.27.030031.
- [5] Z. Wang, H. Sha, K. Yang, et al., Opt. Laser Technol. 157, 108771 (2023). https://doi.org/10.1016/j.optlastec.2022.108771.
- [6] D. R. Abujetas, M. A. G. Mandujano, E. R. Méndez, et al., ACS Photonics 4(7), 1814
 (2017). https://doi.org/10.1021/acsphotonics.7b00395.
- [7] B. G. Burke, J. Chan, K. A. Williams, et al., J. Raman Spectroscopy 41(12), 1759 (2010). https://doi.org/10.1002/jrs.2614.
- [8] А. В. Павликов, О. В. Рахимова, П. К. Кашкаров, Вестник Московского университета. Серия 3. Физика. Астрономия, № 2, 77 (2018). https://doi.org/10.3103/S0027134918020121.
- [9] Н. Н. Мельник, В. В. Трегулов, Г. Н. Скопцова и др., Краткие сообщения по физике ФИАН **50**(2), 24 (2023). https://doi.org/10.3103/S1068335623020057.
- [10] Н. Н. Мельник, В. В. Трегулов, Г. Н. Скопцова и др., Краткие сообщения по физике Φ ИАН 50(7), 40 (2023). DOI: 10.3103/S1068335623070096.
- [11] М. В. Рыбин, И. С. Синев, К. Б. Самусев, М. Ф. Лимонов, Физика твердого тела **56**(3), 560 (2014). https://doi.org/10.1134/S1063783414030263.
- [12] G.-N. Xiao, S.-Q. Man, Chem. Phys. Lett. $\bf 447(4-6)$, 305 (2007). https://doi.org/10.1016/j.cplett.2007.09.045.
- [13] A. R. Ansari, M. Imran, I. S. Yahia, et al., Int. J. Surf. Sci. Eng. 12(1), 1 (2018). https://doi.org/10.1504/IJSURFSE.2018.090051.

Поступила в редакцию 27 сентября 2024 г. После доработки 30 ноября 2024 г. Принята к публикации 3 декабря 2024 г.